

# $\text{Na}_2\text{CrO}_4-\text{NaHCO}_3-\text{H}_2\text{O}$ 体系的相平衡和溶液物化性质 \*

崔金兰 张懿

(中国科学院化工冶金研究所, 北京 100080)

**摘要** 采用等温溶解度法研究了  $\text{Na}_2\text{CrO}_4-\text{NaHCO}_3-\text{H}_2\text{O}$  体系 25 和 40 ℃ 的相关关系以及 25 ℃ 平衡液相的物化性质(密度、粘度、电导率和 pH 值), 并用经验和半经验公式计算了平衡液相的密度, 与实验值较为一致。

**关键词** 铬酸钠, 相图, 密度计算

**中图法分类号** O642.4

**文献标识码** A

**文章编号** 0412-1961(1999)10-1062-03

## STUDY ON SOLUBILITIES AND PROPERTIES OF SOLUTION IN $\text{Na}_2\text{CrO}_4-\text{NaHCO}_3-\text{H}_2\text{O}$ SYSTEM

CUI Jinlan, ZHANG Yi

Institute of Chemical Metallurgy, The Chinese Academy of Sciences, Beijing 100080

Correspondent: CUI Jinlan, E-mail: yizh@home.icm.ac.cn

Manuscript received 1999-05-25, in revised form 1999-07-19

**ABSTRACT** The solubilities and properties (density, viscosity, conductivity and pH) of solution in the system of  $\text{Na}_2\text{CrO}_4-\text{NaHCO}_3-\text{H}_2\text{O}$  were studied at 25 ℃ and 40 ℃ by isothermal method. And density of the equilibrium liquid phase has been calculated. The results are in agreement with the experiments.

**KEY WORDS** sodium chromate, phase diagram, density calculation

铬盐是国民经济不可缺少的基础化工产品, 广泛应用于冶金、化工、轻工、医药、电子、机械及军工等诸多工业部门。据有关部门统计, 铬盐与我国 10% 商品品种的生产有关。仅上海一地, 使用铬盐的工厂就有 600 余家<sup>[1]</sup>。然而铬渣的污染是一个亟待解决的环保难题, 人们提出了各种治理方案, 而根本的出路是建立清洁生产新技术。本文对中国科学院化工冶金研究所提出的铬盐清洁生产集成技术<sup>[2]</sup> 中涉及的  $\text{Na}_2\text{CrO}_4-\text{NaHCO}_3-\text{H}_2\text{O}$  体系作了相平衡和溶液物化性质基础研究, 对该清洁生产工艺的介质循环使用和深层研究具有理论和实际意义。

### 1 实验方法

实验所用主要仪器为: HZQ-C 型空气浴振荡器, DDS-11A 型电导率仪, JC 302 型数字式酸度计, 品氏毛细管粘度计, 婆梅氏比重计以及德国西门子 D-500 型 X 射线衍射仪。实验所用试剂为铬酸钠 ( $\text{Na}_2\text{CrO}_4 \cdot 4\text{H}_2\text{O}$ , 分析纯) 以及碳酸氢钠 (分析纯)。

将铬酸钠、碳酸氢钠和去离子水按一定比例混合, 置于恒温振荡器中。分别在 25 和 40 ℃ 进行恒温振荡至液相组成经分析不再随时间变化为止, 平衡时间 20—24 h。平衡后保温放置澄清, 分别取上层清液和下层湿固相进行化学分析, 并对固相粉末晶体进行 X 射线衍射分析。同时, 在保温条件下测定 25 ℃ 时平衡液相的密度、粘度、电导率和 pH。

分析方法是以 N- 苯代邻氨基苯甲酸为指示剂, 用硫酸亚铁铵溶液滴定  $\text{CrO}_4^{2-}$ , 用酸碱滴定与电位滴定相结合的方法测定  $\text{HCO}_3^-$ , 用原子吸收法测定  $\text{Na}^+$  的含量<sup>[3,4]</sup>。

### 2 实验结果

本研究测定了 25 和 40 ℃ 时  $\text{Na}_2\text{CrO}_4-\text{NaHCO}_3-\text{H}_2\text{O}$  体系的相平衡数据以及 25 ℃ 时平衡液相的物化性质, 结果分别列于表 1, 2。图 1 为 25 ℃ 的相图。

由图 1 可见, 该体系 25 ℃ 时溶解度等温线有两条分支, 分别对应于  $\text{Na}_2\text{CrO}_4 \cdot 4\text{H}_2\text{O}$  和  $\text{NaHCO}_3$  两个结晶区。由于两种原始组分在水中的溶解度相差甚远, 而且在三元体系中, 由于同离子效应,  $\text{Na}_2\text{CrO}_4$  对  $\text{NaHCO}_3$  有强烈的盐析作用, 故  $\text{NaHCO}_3$  结晶区占有较大的面积, 而  $\text{Na}_2\text{CrO}_4 \cdot 4\text{H}_2\text{O}$  的结晶区则很小。两种原始组分间没有形成复盐或固溶体, 体系属简单共饱型。以上研究结果可见, 以  $\text{NaHCO}_3$  形式脱 Na, 进行碱性铬盐向酸式盐的转化应

\* 中国科学院“九·五”资源环境特别支持项目资助 KZ95T-05

收到初稿日期: 1999-05-25, 收到修改稿日期: 1999-07-19

作者简介: 崔金兰, 女, 1971 年生, 博士生

表 1 25 °C 时  $\text{Na}_2\text{CrO}_4\text{-NaHCO}_3\text{-H}_2\text{O}$  体系溶解度数据及液相物性常数  
Table 1 Solubilities and properties of solution in the  $\text{Na}_2\text{CrO}_4\text{-NaHCO}_3\text{-H}_2\text{O}$  system at 25 °C

| No. | Compound of liquid phase  |                  |                      | Density<br>$10^3 \text{ kg/m}^3$ | Viscosity<br>$\text{mm}^2/\text{s}$ | Conductivity<br>$10^3 \text{ S/m}$ | pH   | Equilibrium<br>solid phase  |
|-----|---------------------------|------------------|----------------------|----------------------------------|-------------------------------------|------------------------------------|------|---|
|     | mass fraction, %          |                  | $\text{H}_2\text{O}$ |                                  |                                     |                                    |      |   |
|     | $\text{Na}_2\text{CrO}_4$ | $\text{NaHCO}_3$ |                      |                                  |                                     |                                    |      |   |
| E   | 46.00                     | 0.00             | 54.00                | 1.502                            | 5.905                               | 0.128                              | 9.30 | $\text{Na}_2\text{CrO}_4\cdot 4\text{H}_2\text{O}$                  |
| 1   | 45.15                     | 0.41             | 54.44                | 1.492                            | 5.557                               | 0.130                              | 9.12 | $\text{Na}_2\text{CrO}_4\cdot 4\text{H}_2\text{O}$                  |
| 2   | 44.92                     | 0.50             | 54.58                | 1.489                            | 5.220                               | 0.131                              | 9.08 | $\text{Na}_2\text{CrO}_4\cdot 4\text{H}_2\text{O}$                  |
| 3   | 44.53                     | 0.84             | 54.63                | 1.483                            | 5.185                               | 0.133                              | 9.02 | $\text{Na}_2\text{CrO}_4\cdot 4\text{H}_2\text{O}$                  |
| P   | 44.16                     | 1.16             | 54.68                | 1.489                            | 5.026                               | 0.134                              | 9.06 | $\text{Na}_2\text{CrO}_4\cdot 4\text{H}_2\text{O} + \text{NaHCO}_3$ |
| 4   | 43.62                     | 0.92             | 55.46                | 1.478                            | 5.081                               | 0.124                              | 8.52 | $\text{NaHCO}_3$  |
| 5   | 42.41                     | 1.02             | 56.57                | 1.458                            | 4.842                               | 0.122                              | 8.35 | $\text{NaHCO}_3$  |
| 6   | 41.86                     | 1.18             | 56.96                | 1.446                            | 4.739                               | 0.120                              | 8.23 | $\text{NaHCO}_3$  |
| 7   | 39.44                     | 1.40             | 59.16                | 1.418                            | 2.942                               | 0.105                              | 8.16 | $\text{NaHCO}_3$  |
| 8   | 37.46                     | 2.58             | 59.96                | 1.405                            | 2.631                               | 0.102                              | 8.15 | $\text{NaHCO}_3$  |
| 9   | 36.02                     | 2.85             | 61.13                | 1.388                            | 2.441                               | 0.100                              | 8.07 | $\text{NaHCO}_3$  |
| 10  | 28.91                     | 3.25             | 67.84                | 1.320                            | 1.940                               | 0.083                              | 8.07 | $\text{NaHCO}_3$  |
| 11  | 26.62                     | 3.82             | 69.56                | 1.295                            | 1.766                               | 0.077                              | 8.14 | $\text{NaHCO}_3$  |
| 12  | 17.37                     | 4.36             | 78.27                | 1.212                            | 1.225                               | 0.054                              | 8.17 | $\text{NaHCO}_3$  |
| 13  | 9.86                      | 5.25             | 84.89                | 1.134                            | 1.077                               | 0.038                              | 8.25 | $\text{NaHCO}_3$  |
| 14  | 2.44                      | 8.89             | 88.67                | 1.095                            | 0.968                               | 0.029                              | 8.30 | $\text{NaHCO}_3$  |
| D   | 0.00                      | 9.40             | 90.60                | 1.066                            | 0.913                               | 0.020                              | 8.36 | $\text{NaHCO}_3$  |
| F   | 69.21                     | 0.00             | 30.79                | -                                | -                                   | -                                  | -    | $\text{Na}_2\text{CrO}_4\cdot 4\text{H}_2\text{O}$                  |

表 2 40 °C 时  $\text{Na}_2\text{CrO}_4\text{-NaHCO}_3\text{-H}_2\text{O}$  体系溶解度数据  
Table 2 Solubilities of  $\text{Na}_2\text{CrO}_4\text{-NaHCO}_3\text{-H}_2\text{O}$  system at 40 °C

| No. | Compound of liquid phase         |                    |                      | Equilibrium<br>solid phase  | No. | Compound of liquid phase         |                    |                  | Equilibrium<br>solid phase                         |
|-----|----------------------------------|--------------------|----------------------|---|-----|----------------------------------|--------------------|------------------|--|
|     | mass fraction, %                 |                    | $\text{H}_2\text{O}$ |   |     | Na <sub>2</sub> CrO <sub>4</sub> | NaHCO <sub>3</sub> | H <sub>2</sub> O |  |
|     | Na <sub>2</sub> CrO <sub>4</sub> | NaHCO <sub>3</sub> |                      |   |     |                                  |                    |                  |  |
| E   | 48.97                            | 0.00               | 51.03                | $\text{Na}_2\text{CrO}_4\cdot 4\text{H}_2\text{O}$                  | 14  | 38.16                            | 3.31               | 58.53            | $\text{NaHCO}_3$                                   |
| 1   | 48.69                            | 0.56               | 50.75                | $\text{Na}_2\text{CrO}_4\cdot 4\text{H}_2\text{O}$                  | 15  | 37.79                            | 3.43               | 58.78            | $\text{NaHCO}_3$                                   |
| 2   | 48.35                            | 0.75               | 50.90                | $\text{Na}_2\text{CrO}_4\cdot 4\text{H}_2\text{O}$                  | 16  | 34.63                            | 3.87               | 61.50            | $\text{NaHCO}_3$                                   |
| 3   | 47.95                            | 1.00               | 51.05                | $\text{Na}_2\text{CrO}_4\cdot 4\text{H}_2\text{O}$                  | 17  | 30.49                            | 4.27               | 65.24            | $\text{NaHCO}_3$                                   |
| 4   | 47.73                            | 1.14               | 51.13                | $\text{Na}_2\text{CrO}_4\cdot 4\text{H}_2\text{O}$                  | 18  | 29.77                            | 4.48               | 65.75            | $\text{NaHCO}_3$                                   |
| 5   | 47.45                            | 1.16               | 51.39                | $\text{Na}_2\text{CrO}_4\cdot 4\text{H}_2\text{O}$                  | 19  | 24.70                            | 5.00               | 70.30            | $\text{NaHCO}_3$                                   |
| 6   | 46.93                            | 1.40               | 51.67                | $\text{Na}_2\text{CrO}_4\cdot 4\text{H}_2\text{O}$                  | 20  | 22.83                            | 5.16               | 72.01            | $\text{NaHCO}_3$                                   |
| 7   | 46.60                            | 1.63               | 51.77                | $\text{Na}_2\text{CrO}_4\cdot 4\text{H}_2\text{O}$                  | 21  | 20.83                            | 5.34               | 73.83            | $\text{NaHCO}_3$                                   |
| 8   | 45.93                            | 2.14               | 51.93                | $\text{Na}_2\text{CrO}_4\cdot 4\text{H}_2\text{O}$                  | 22  | 14.01                            | 5.65               | 80.34            | $\text{NaHCO}_3$                                   |
| 9   | 45.35                            | 2.37               | 52.29                | $\text{Na}_2\text{CrO}_4\cdot 4\text{H}_2\text{O}$                  | 23  | 12.45                            | 7.20               | 80.35            | $\text{NaHCO}_3$                                   |
| 10  | 45.14                            | 2.67               | 52.19                | $\text{Na}_2\text{CrO}_4\cdot 4\text{H}_2\text{O}$                  | 24  | 9.73                             | 8.95               | 81.32            | $\text{NaHCO}_3$                                   |
| 11  | 44.69                            | 2.84               | 52.47                | $\text{Na}_2\text{CrO}_4\cdot 4\text{H}_2\text{O}$                  | 25  | 2.34                             | 10.97              | 86.69            | $\text{NaHCO}_3$                                   |
| P   | 44.31                            | 3.01               | 52.68                | $\text{Na}_2\text{CrO}_4\cdot 4\text{H}_2\text{O} + \text{NaHCO}_3$ | D   | 0.00                             | 11.30              | 88.70            | $\text{NaHCO}_3$                                   |
| 12  | 43.00                            | 2.93               | 54.07                | $\text{NaHCO}_3$  | F   | 69.21                            | 0.00               | 30.79            | $\text{Na}_2\text{CrO}_4\cdot 4\text{H}_2\text{O}$ |
| 13  | 42.01                            | 3.11               | 54.88                | $\text{NaHCO}_3$  |     |                                  |                    |                  |  |

是可行的。40 °C 时的相图与图 1 类似, 此处不再赘述。

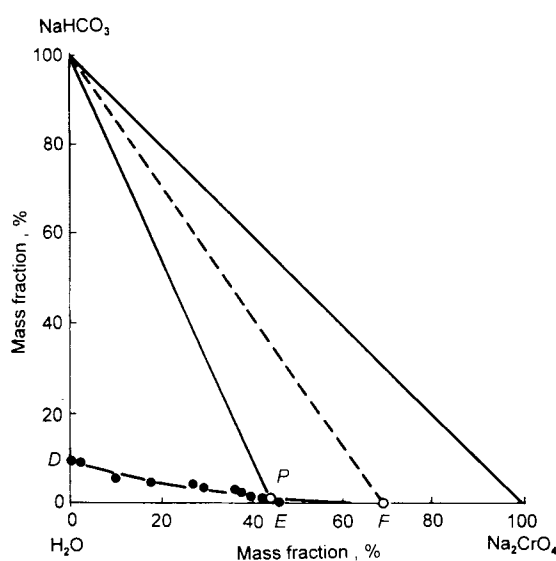
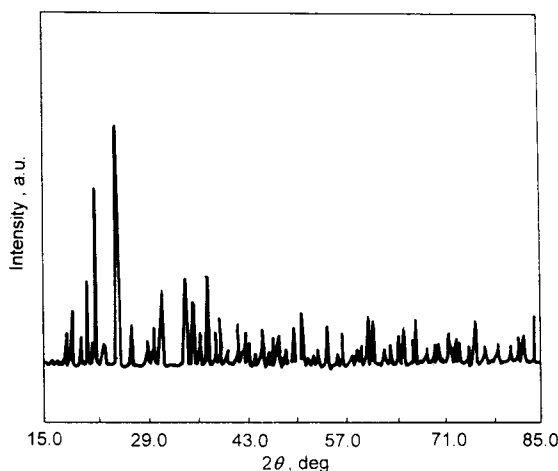
图 2 列出了  $\text{Na}_2\text{CrO}_4\cdot 4\text{H}_2\text{O}$  的 X 射线衍射图谱。

### 3 平衡液相密度的理论计算

Зюрохин [5] 曾以经验公式  $\lg(d/d_0) = \sum A_i w_i$  来计

算海水体系  $\text{Na}^+$ ,  $\text{K}^+$ ,  $\text{Mg}^{2+} \parallel \text{Cl}^-$ ,  $\text{SO}_4^{2-}\text{-H}_2\text{O}$  中饱和溶液的密度与组成的关系。这一公式同样适用于本研究的三元体系, 其饱和溶液的密度可用下式计算

$$\lg(d^{25}/d_0^{25}) = A \times w_{\text{Na}_2\text{CrO}_4} + B \times w_{\text{NaHCO}_3}$$

图 1 25 °C 时  $\text{Na}_2\text{CrO}_4\text{-NaHCO}_3\text{-H}_2\text{O}$  体系相图Fig.1 Phase diagram of  $\text{Na}_2\text{CrO}_4\text{-NaHCO}_3\text{-H}_2\text{O}$  system at 25 °C图 2  $\text{Na}_2\text{CrO}_4\cdot 4\text{H}_2\text{O}$  的 XRD 图谱Fig.2 The XRD pattern of  $\text{Na}_2\text{CrO}_4\cdot 4\text{H}_2\text{O}$  ( $\text{Fe K}_\alpha$ )

式中,  $d^{25}$  和  $d_0^{25}$  分别为三元体系饱和溶液及纯水 25 °C 时的密度,  $d_0^{25}=0.997\times 10^3$  ( $\text{kg/m}^3$ );  $A$  由  $\text{Na}_2\text{CrO}_4\text{-H}_2\text{O}$  二元体系饱和点的密度和组成值求得, 为  $38.69\times 10^{-4}$ ;  $B$  采用文献 [6] 给出的值, 为  $31.19\times 10^{-4}$ . 利用这些系数和溶液组成计算本体系溶液的密度, 并将结果与实验值比较, 相对偏差小于 1.0%. 结果列于表 3.

#### 4 结论

(1) 测定了  $\text{Na}_2\text{CrO}_4\text{-NaHCO}_3\text{-H}_2\text{O}$  体系 25 和 40 °C 时的平衡溶解度和 25 °C 时的溶液物化性质(密度、粘度、

表 3  $\text{Na}_2\text{CrO}_4\text{-NaHCO}_3\text{-H}_2\text{O}$  体系平衡液密度的计算值与实验值的比较Table 3 Comparison of calculated values ( $d_{\text{cal.}}$ ) with experimental values ( $d_{\text{exp.}}$ ) of solution density in the  $\text{Na}_2\text{CrO}_4\text{-NaHCO}_3\text{-H}_2\text{O}$  system at 25 °C

| No. | $d_{\text{exp.}}$ | $d_{\text{cal.}}$ | Absolute error |       | Relative error % |
|-----|-------------------|-------------------|----------------|-------|------------------|
|     |                   |                   | error          | %     |                  |
| $E$ | 1.502             | -                 | -              | -     | -                |
| 1   | 1.492             | 1.495             | 0.003          | 0.20  |                  |
| 2   | 1.489             | 1.493             | 0.004          | 0.27  |                  |
| 3   | 1.483             | 1.491             | 0.008          | 0.54  |                  |
| $P$ | 1.489             | 1.490             | 0.001          | 0.07  |                  |
| 4   | 1.478             | 1.480             | 0.002          | 0.14  |                  |
| 5   | 1.458             | 1.465             | 0.007          | 0.48  |                  |
| 6   | 1.446             | 1.460             | 0.014          | 0.96  |                  |
| 7   | 1.418             | 1.431             | 0.013          | 0.91  |                  |
| 8   | 1.405             | 1.418             | 0.013          | 0.92  |                  |
| 9   | 1.388             | 1.402             | 0.014          | 0.99  |                  |
| 10  | 1.320             | 1.320             | 0.000          | 0.000 |                  |
| 11  | 1.295             | 1.298             | 0.003          | 0.23  |                  |
| 12  | 1.212             | 1.201             | -0.011         | -0.92 |                  |
| 13  | 1.134             | 1.130             | -0.004         | -0.35 |                  |
| 14  | 1.095             | 1.086             | -0.009         | -0.83 |                  |
| $D$ | 1.066             | 1.067             | 0.001          | 0.09  |                  |

电导率及 pH 值), 并绘制了相图, 为铬盐清洁生产中 Na 循环与分离的进一步研究提供了基础数据和理论依据.

(2) 平衡溶液密度的理论计算值与实验结果相符, 对同类研究具有理论指导意义.

#### 参 考 文 献

- [1] Cheng S W, Ding Y, Yang C R. *Chromate Production Process*. Beijing: Chemical Industry Press, 1987: 4  
(成思危, 丁翼, 杨春荣. 铬盐生产工艺. 北京: 化学工业出版社, 1987: 4)
- [2] Zhang Y, Li Z H, Wang Z K, Chen J Y. *Prog Chem*, 1998; 10: 172  
(张懿, 李佐虎, 王志宽, 陈家镛. 化学进展, 1998; 10: 172)
- [3] Institute of Qinghai Salt-Lake, The Chinese Academy of Sciences. *Analytical Methods of Brines and Salts*. Beijing: Science Press, 1988: 215  
(中国科学院青海盐湖研究所分析室. 卤水和盐的分析方法. 北京: 科学出版社, 1988: 215)
- [4] Dai S G. *Instrument Analyses*. Beijing: Higher Education Press, 1987: 43  
(戴树桂. 仪器分析. 北京: 高等教育出版社, 1987: 43)
- [5] Эзрохи Д. Труды вниг , 1959; 36: 16
- [6] Fang C H. *J Salt Lake Sci*, 1990; 2: 15  
(房春晖. 盐湖研究, 1990; 2: 15)